

埼玉大学 正員 浜島良吉

○学生員 井関晴夫

1. 考え方: 層理・流理・片理等のある岩石はその組織構造に従って力学的異方性を示す。せん断節理面に囲まれた内部の岩石にも節理面と同じ性格の微小割れ目が存在する。地盤構造力を強く受けた地域では岩片序で見ても、露頭で見ても、またある地域の空中写真、すなわち地図で見ても、山地には多い山地のせん断強度の模様が見られる。岩盤の力学的強度を正しく把握するには、山地のリニアメント構成及び岩石片の微視的構造などの破壊力学機構を予測することによりこれをモデル化し、解析を行う必要がある。筆者らはこうした異方性節理系岩盤の支持力、破壊機構についての準備的研究として、均一異方性砂地盤の支持力実験、さらにブロック光弹性モデルによる物理系岩盤実験及びこれらの解析を行った。

2. 実験及び解析結果: 図-1は異方性砂地盤についての支持力実験があり、載荷板は図に示されるように、Fix 及び Free の2種類の方法でおこなった。これによれば  $\theta=0^\circ$  及び  $\theta=90^\circ$  以外の角では Fix の方が Free の場合より高い支持力値を示している。実際の現地での大型平板載荷実験においては Fix に近い状態で載荷実験がなされるが、実際の構造物の載荷条件は Free の条件に近く考へられ、Fix の状態での載荷実験は実際の地盤支持力より高めの値を与えると考へられる。さらに Fix と Free では支持力の落ち込み位置 ( $\delta$  の値) が異なる。これは Fix と Free ではすべり破壊様式が異なることを示唆している。図-1において、 $\theta=0^\circ$  及び  $\theta=90^\circ$  の角においては Fix 及び Free の支持力がほぼ一致している。ここで  $\theta=90^\circ$  の場合について支持力変位曲線を示せば図-2のように、両者の曲線はほぼ一致しているといえる。ただし一つ留意すべきことは、この場合において Fix 及び Free の支持力が一致するかどうかを議論して一般的にこれを保障はされない。例えば図-3に示されるアーナに対する荷重 ( $P$ )-変位 ( $\delta$ ) 曲線をみると、これは図-2 に示される砂地盤の荷重-変形曲線と類似の形状となる。しかしアーナの場合にはピーカ荷重 (対称変形が生じると言えを掲言) 以前において分歧座屈 (A点) を生じた後は A-C の分歧経路をたどる。さらにもしアーナにほんの初期不正量が存在する場合には、そのときの荷重変形曲線は O-A-C に漸近するところである。これらから明らかな様に、荷重変形曲線が図-3に示されるアーナのように O-B-C で示された屈服性状を示す場合はピーカ荷重以前に分歧座屈点が存在するかどうかを確認する必要がある。しかしうして不安定破壊点については有限変形の立場からの座屈解析が必要である。しかし先に述べた様に初期不正によ

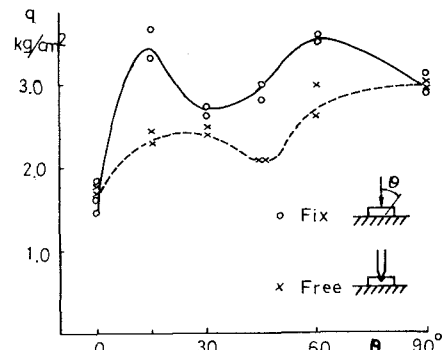


図-1 載荷条件の違いによる異方性砂地盤の支持力

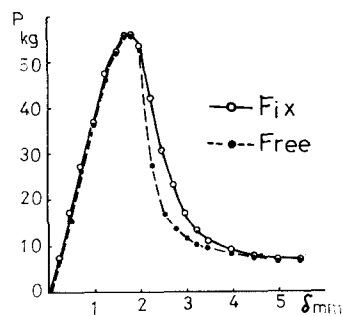
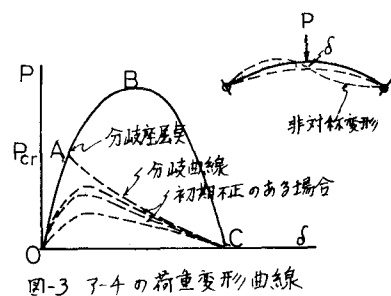
図-2 荷重変形曲線 ( $\theta=90^\circ$ )

図-3 アーナの荷重変形曲線

存在する場合、この変形曲線は勾配曲線上に漸近するという性質を使用すればこうした勾配率が存在するかどうかを検証することができる。図-4は $\theta=0^\circ$ 及び $\theta=90^\circ$ の場合について初期不正量として偏心量 $\epsilon$ を選んだ例である。ここでもし勾配率がピーカ以前に存在するとすれば、ほんのわずかに偏心量を与えてこれにより支持力は急激に低下するはずである。ところどころして偏心載荷された場合の解析においてこの問題は剛板による偏心が生ずるこことあり、沈下量 $s$ と載荷板の回転量 $\theta$ を同時に制御しなければならぬ。そのため載荷板をメッシュ分割し、砂地盤と載荷板を一体として解析をおこなうことにした。しかしこの場合、砂地盤と載荷板の剛性の差が大きすぎると解は発散し、剛板載荷による解析が不能となる。

図-5は支持力沈下曲線の実験値と解析結果の比較である。ここで実験結果はピーカ以後急速に支持力が低下するが、解析結果は材料のsoftening 及び幾何学的非線形性を考慮していないにもかかわらずピーカ以後支持力の低下をせずに変形が進行せらる計算不能となる。これから見えることは実験で得られるピーカ以後の支持力の低下は材料のsoftening によるものではなく、剛板によると示された砂地盤の特定推進角度による支持力低下を含めて考えるににより、すべりに起因すると言えりゆる。すなわちすべり線発生後はすべり線を不連続面と考えた解析が必要となることを図-5は示唆していると言える。そのためには任意位置に生ずるすべりを有効に取り入れ得る解析が必要となる。これに対して Kawamoto and Tabeda<sup>1)</sup>はよりラグランジ element を用いた解析成功させているが、三次元及ぶ大変形解析への発展が困難である。Goodman<sup>2)</sup>は不連続岩盤に対して joint element を用いた解析をおこなっていだが、これはあくまでも不連続面での脱離力の場合への適用可能である。これに対し Kawai<sup>3)</sup>は discrete element を用いて板、殻等の崩壊荷重の解析を行っているが、これによれば前述した剛板による偏心載荷及び任意位置に生ずるすべり線を考慮した解析が可能である。この解析法は離散化された element の集合として解析を行うが、弹性系岩盤の解析には最も適した方法と言えよう。こうした節理系岩盤の支持力実験(図-6)及び解析結果については当口発表した。

- 参考文献:
- 1) Kawamoto, T., and Tabeda, M. 1979, An analysis of progressive failure in rock slopes, 3rd. Int. Conf. on Numerical Me. in Geom.
  - 2) Goodman, R.E. et 1968, A model for the mechanics of jointed rock, proc. ASCE, 94, SM3, pp637-659.
  - 3) Kawai, T. 1978, A new discrete model for analysis of solid mechanics problems, 1st Int. Conf. on Numerical Me. in Fracture Mechanics.

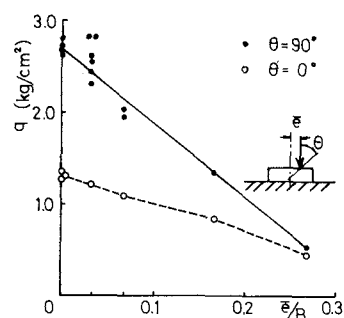


図-4 偏心載荷の場合の支持力

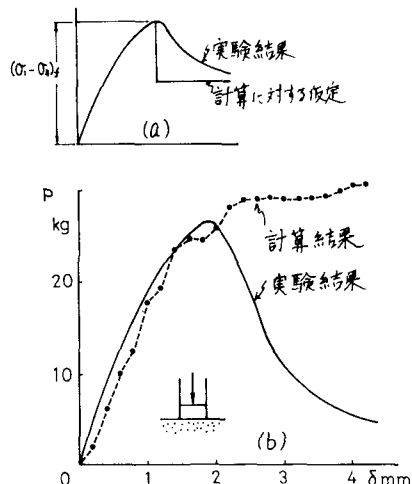


図-5 (a) 平面ひずみ試験結果  
(b) 支持力沈下曲線

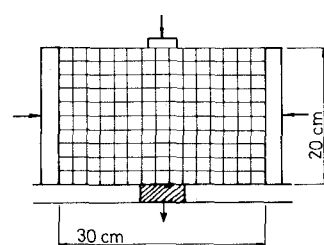


図-6 ブロックモデルによる節理系岩盤の支持力実験